

## ТОЧКИ ЛИФШИЦА ДЛЯ ДВУМЕРНЫХ ПРЕДСТАВЛЕНИЙ

Д.Г.Санников

Для двумерных неприводимых представлений, допускающих градиентный инвариант Лифшица, показано существование точек Лифшица, в которых ограничивают три фазы, две соразмерные и одна несоразмерная. Исследованы особенности таких точек и ближайшей их окрестности.

В работе [1] была рассмотрена критическая точка нового типа, названная точкой Лифшица, которая разделяет линии переходов второго рода в соразмерную и в несоразмерную фазы. Эта точка определяется условиями  $\alpha = 0$ ,  $\delta = 0$  на коэффициенты при инвариантах  $a\eta^2 + \delta(\nabla\eta)^2$  в термодинамическом потенциале для параметра порядка  $\eta$  преобразующегося по одномерному представлению.

В данной работе рассмотрены в рамках теории Ландау точки Лифшица для двумерных неприводимых представлений, допускающих градиентный инвариант Лифшица [2]. Показано, что такие точки отличаются от точек, рассмотренных в [1]: критические флюктуации в их окрестности имеют обычный порядок величины. Исследованы особенности термодинамических аномалий при фазовых переходах.

Рассмотрим двумерное неприводимое представление  $E_4$ , допускающее анизотропный инвариант четвертого порядка. Используя удобную полярную систему координат

$$\eta = \rho \cos \phi, \quad \xi = \rho \sin \phi \quad (1)$$

для базиса представления  $\eta$ ,  $\xi$ , запишем термодинамический потенциал в виде

$$\Phi = \frac{a}{2} \rho^2 + \frac{\beta}{4} \rho^4 + \frac{\beta'}{4} \rho^4 \cos 4\phi + \frac{\gamma}{6} \rho^6 - \sigma \rho^2 \frac{\partial \phi}{\partial z} + \frac{\delta}{2} \left[ \left( \frac{\partial \rho}{\partial z} \right)^2 + \rho^2 \left( \frac{\partial \phi}{\partial z} \right)^2 \right], \quad (2)$$

где коэффициенты  $\beta'$  и  $\sigma$  стоят соответственно перед анизотропным инвариантом и градиентным инвариантом Лифшица. В выражении (2) необходимо принять  $\gamma > 0$ ,  $\delta > 0$ . Поскольку фазовая диаграмма в переменных  $\alpha$ ,  $\beta'$  симметрична относительно оси  $\beta' = 0$ , примем для определенности  $\beta' > 0$ .

Термодинамическому потенциалу (2) отвечают следующие решения и соответствующие им фазы. Исходная фаза 0:  $\rho = 0$ . Соразмерная фаза 1:

$$\cos 4\phi = -1, \quad \rho^2 = [\beta - \beta' + \sqrt{(\beta - \beta')^2 - 4\sigma\gamma}] / 2\gamma. \quad (3)$$

Несоразмерная фаза 1:

$$\rho = \rho_0, \quad \phi = k_0 z, \quad \text{где } \rho_0^2 = \frac{\alpha_0 - \alpha}{\beta}, \quad k_0 = \frac{|\sigma|}{\delta}, \quad \alpha_0 = \frac{\sigma^2}{\delta}. \quad (4)$$

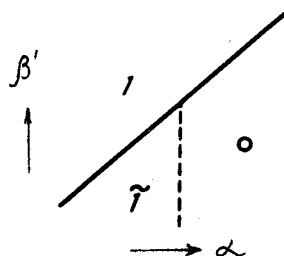
Решение (4) справедливо при условии  $(\alpha_0 - \alpha)/\alpha_0 \ll 1$ .

Если  $\beta > 0$ , то фазовый переход  $0 - \tilde{\Gamma}$  второго рода и происходит по линии  $\alpha = \alpha_0$ . Фазовый переход  $0 - 1$  второго рода ( $\beta - \beta' > 0$ ) происходит по линии  $\alpha = 0$ , а первого рода ( $\beta - \beta' < 0$ ) — по линии  $(\Phi_0 - \Phi_1)$ :  $\alpha = 3(\beta - \beta')^2/16\gamma$ . Две линии фазовых переходов  $0 - \tilde{\Gamma}$  и  $0 - 1$  пересекаются в точке

$$\alpha = \alpha_0, \quad \beta' = \beta + \sqrt{16\alpha_0\gamma/3}, \quad (5)$$

в дальнейшем называемой точкой Лифшица.

В окрестности точки Лифшица (5), фазовая диаграмма в переменных  $\alpha, \beta'$  имеет вид, представленный на рисунке (подобной будет и фазовая диаграмма в переменных  $T, P$ ). В точке Лифшица сходятся три линии фазовых переходов:  $0 - \tilde{\Gamma}$  второго рода,  $0 - 1$  и  $\tilde{\Gamma} - 1$  первого рода. Последние две линии имеют в точке Лифшица общую касательную с наклоном  $d\beta'/d\alpha = \sqrt{4\gamma/3\alpha_0}$ .



Подчеркнем, что в окрестности точки Лифшица для несоразмерной фазы  $\tilde{\Gamma}$  во всей области между фазовыми переходами  $0 - 1$  и  $\tilde{\Gamma} - 1$  справедливо простейшее решение (4). Это позволяет получить аналитические выражения для аномалий физических величин. Отметим, в частности, что фазовый переход  $\tilde{\Gamma} - 1$  из несоразмерной в соразмерную fazу является в окрестности точки Лифшица обычным переходом первого рода с перегревом и переохлаждением. На всей линии фазового перехода  $0 - \tilde{\Gamma}$  значение волнового вектора  $k$ , характеризующего несоразмерную fazу  $\tilde{\Gamma}$ , равно  $k_0$  (4). Следовательно в точке Лифшица (5)  $k$  испытывает скачок на величину  $k_0$  (в отличие от [1], где в точке Лифшица  $k$  обращается в ноль). Теплоемкость  $C$  при фазовом переходе второго рода  $0 - 1$  возрастает на величину  $C = \alpha_T^2 T_0^2 / 2\beta$ , где температура перехода  $T_0$  определяется из условия  $\alpha = \alpha_T (T_0 - \theta) = \alpha_0$  (4). При фазовом переходе первого рода  $0 - 1$  теплоемкость возрастает в окрестности точки Лифшица на величину  $C = (\alpha_T^2 T_k^2 / 2\beta) (3\beta^2 / 4\alpha_0\gamma)^{1/2}$ , где  $T_k$  определяется из условия  $\alpha = 3(\beta - \beta')^2 / 16\gamma$ . Оба скачка имеют в точке Лифшица конечную величину. Поскольку обычно  $\beta^2 / \alpha_0\gamma \gg 1$  (действительно:  $\beta^2 / \gamma \alpha_T \theta \sim 1$ ,  $\alpha_0 \ll \alpha_T \theta$ ), то скачок теплоемкости при переходе  $0 - \tilde{\Gamma}$  существенно меньше, чем при последующем переходе  $\tilde{\Gamma} - 1$  (в окрестности точки Лифшица).

Выше было рассмотрено представление  $E_4$ . Сходные результаты получаются для представления  $E_3$ , допускающего анизотропный инвариант третьего порядка. Для двумерных представлений  $E_n$  с любым  $n$  при  $\beta < 0$  могут существовать точки Лифшица, в которых смыкаются три линии фазовых переходов первого рода между теми же тремя fazами. Эти линии не имеют в точке Лифшица общей касательной.

Отметим, что в точке Лифшица, рассмотренной в [1], тоже граничат три фазы, но все три линии фазовых переходов имеют в приближении самосогласованного поля общую касательную, совпадающую с линией переходов второго рода, исходная — соразмерная фаза (угол раствора между линиями переходов второго рода исходная — несоразмерная фаза и первого рода несоразмерная-соразмерная фаза стремится к нулю как квадрат удаленности от точки Лифшица). В окрестности точки Лифшица, рассмотренной в [1], критические флуктуации аномально велики (из-за обращения в ноль коэффициента  $\delta$  при градиентном инварианте), В окрестности точки Лифшица (5) критические флуктуации имеют обычный порядок величины.

Помимо рассмотренных выше точек Лифшица на фазовой диаграмме в переменных  $\alpha$ ,  $\beta$  существует критическая точка, определяемая условиями  $\alpha = 0$ ,  $\beta = 0$ , в которой линия переходов второго рода переходит в линию переходов первого рода между исходной и несоразмерной фазами. Особенности этой точки вполне аналогичны особенностям обычной критической точки для фазовых переходов между соразмерными фазами [2].

Институт кристаллографии  
Академии наук СССР

Поступила в редакцию  
15 июня 1979 г.

### Литература

- [1] R.M.Hornreich, M.Luban, S.Strikman. Phys. Rev., Lett., 35, 1678, 1975.
  - [2] Л.Д.Ландау, Е.М.Лифшиц. Статистическая физика, М., изд. Наука, 1976 г., ч.1.
-